

УДК 543.421:621.38

А.В. Вовна (канд. техн. наук, доц.), А.А. Зори (докт. техн. наук, проф.)
ГВУЗ «Донецкий национальный технический университет», г. Донецк
кафедра электронной техники
E-mail: Vovna_Alex@ukr.net, zori@kita.dgtu.donetsk.ua

ОПТИЧЕСКИЙ ИЗМЕРИТЕЛЬ КОНЦЕНТРАЦИИ МЕТАНА С АППАРАТНО-ПРОГРАММНОЙ КОМПЕНСАЦИЕЙ ТЕМПЕРАТУРНОГО ДРЕЙФА

Разработан и реализован экспериментальный образец оптического измерителя концентрации метана. Предложен способ аппаратно-программной компенсации температурного дрейфа оптического измерителя, в котором использован для аппаратной компенсации в качестве температурно-чувствительного элемента светодиод, а для программной – датчик температуры. Аппаратно-программная реализация разработанного способа позволила повысить его точность: величина дополнительной погрешности измерения концентрации метана обусловленной изменением температуры составила не более $\pm 0,09$ об.%, что в 4,5 раза меньше требуемого значения по техническому заданию на разработку измерителя (не более $\pm 0,4$ об.%). При этом, в диапазоне измерения концентрации метана от 0 до 4 об.% основная абсолютной погрешностью не должна превышать $\pm 0,2$ об.%, а дополнительная погрешность – удвоенного значения основной погрешности измерения.

Ключевые слова: измеритель, метан, способ, компенсация, температура, погрешность.

Общая постановка проблемы

Увеличение глубины разработок угля, возрастание частоты и интенсивности газодинамических явлений, внезапных выбросов метана приводит к повышению вероятности возникновения взрывоопасной ситуации и ухудшения условий труда горняков. В условиях угольных шахт наличие агрессивной среды и большого количества дестабилизирующих факторов, влияющих на результат измерения (температура [1], запыленность [2], влажность и др.), не позволило до настоящего времени создать быстродействующие газоаналитические измерители с необходимыми показателями точности и метрологической надежности. В значительной степени эту проблему, возможно, решить с использованием новейших систем оптического контроля концентрации метана в горных выработках угольных шахт [3], которые основаны на современной информационно-измерительной технике. Следовательно, разработка и внедрение оптических измерителей для контроля концентрации газовых компонентов в реальном масштабе времени с требуемыми метрологическими характеристиками в атмосфере угольных шахт является актуальной проблемой.

Постановка задач исследования

Целью работы является повышение точности измерителя концентрации метана путем разработки способа аппаратно-программной компенсации температурного дрейфа его выходного сигнала, что позволит уменьшить доминирующую дополнительную погрешность измерения концентрации метана, обусловленную изменением температуры.

Для достижения цели поставлены и решены следующие задачи:

- разработать и провести лабораторные испытания экспериментального образца оптического измерителя концентрации метана;
- оценить основную и дополнительную погрешности измерений концентрации метана;
- разработать способ аппаратно-программной компенсации температурного дрейфа выходного сигнала измерителя;
- оценить точность предложенного способа компенсации температурного дрейфа.

Результаты разработки и исследований

Разработанный экспериментальный образец измерителя концентрации метана с аппаратной компенсацией температурного дрейфа [1], включает:

– измерительную оптическую кювету с однопроходной оптической ячейкой и линзами, включающую светодиод Lms34LED и фотодиод Lms36PD с предусилителем, с длиной оптического пути 34 мм;

– компенсационную оптическую кювету с однопроходной оптической ячейкой и линзами, включающую светодиод Lms38LED и фотодиод Lms43PD с предусилителем, с длиной оптического пути 34 мм;

– аналоговые измерительные каналы, в составе: драйвера для светодиода; синхронного детектора; нормирующего усилителя с аналоговой компенсацией температурного дрейфа светодиодов Lms34LED и Lms38LED.

– четырехканальный 12-разрядный аналого-цифровой преобразователь с записью данных в персональный компьютер через USB порт (Arduino DUE).

Для компенсации температурного дрейфа выходных напряжений измерительного (*ИК*) и компенсационного (*КК*) каналов разработан способ [4] и устройство [5] его аппаратной компенсации. Для реализации данного способа использованы зависимости температурного дрейфа напряжения на светодиодах. При этом светодиоды питаются от импульсного источника тока, который имеет следующие характеристики:

1. Амплитуда ток накачки светодиода, А
 - измерительная ячейка Lms34LED – Lms36PD 1,0;
 - компенсационная ячейка Lms38LED – Lms43PD 0,77;
2. Длительность импульса, мкс 20;
3. Частота импульсной последовательности, Гц 500.

Температурный дрейф выходных напряжений измерительного и компенсационного каналов измерителя обусловлен температурной зависимостью интенсивности излучения светодиодов. С ростом температуры их интенсивность излучение падает, что обусловлено следующими причинами: безызлучательной рекомбинацией через глубокие примесные уровни; рекомбинацией на поверхности; потерей носителей в барьерных слоях гетероструктур. Температурная зависимость интенсивности излучения светодиодов является чисто феноменологической, основанной практически на экспериментальных данных. При этом температурную зависимость интенсивности излучения светодиодов в узком диапазоне его рабочих температур описывают феноменологическим уравнением вида [6]:

$$I(T) = I(T_0) \cdot \exp\left(-\frac{T - 300K}{T_1}\right), \quad (1)$$

где $I(T_0)$ – интенсивность излучения светодиода при температуре $T_0 = 300$ К ;

T_1 – характеристическая температура конкретного светодиода.

При низких значениях характеристической температуры (менее 100 К) температурная зависимость интенсивности излучения светодиода достаточно велика. Для определения температурной зависимости светодиодов, используемых в измерителе концентрации метана, проведены лабораторные испытания *ИК* (LED34) и *КК* (LED38) [7] с использованием термостата. В ходе проведения испытаний получены характеристики преобразования выходных напряжений синхронных детекторов *ИК* и *КК* измерителя от температуры в диапазоне от +5 до +35°C, графики которых приведены на рисунке 1. На рисунке 1 обозначено: **×** – экспериментальные данные выходного напряжения синхронного детектора *ИК* от температуры; **+** – *КК* от температуры; ———— – результаты аппроксимации характеристик преобразования выходных напряжений синхронных детекторов *ИК* и *КК* от

температуры уравнением вида:

$$U_{CD}(T) = U_{CD}(T_0) \cdot \exp\left(-\frac{T-T_0}{T_1}\right) - U_{0CD} = U_{CD}(T_0) \cdot \left(\exp\left(-\frac{T-T_0}{T_1}\right) - k_{0CD}\right), \quad (2)$$

где $U_{CD}(T_0)$ – выходное напряжение синхронного детектора при температуре T_0 , для ИК $T_0 = 308 \text{ K} = +35^\circ\text{C}$ при этом $U_{CD \text{ ИК}}(T_0 = +35^\circ\text{C}) = 8,25 \text{ В}$, а для КК $T_0 = 303 \text{ K} = +30^\circ\text{C}$ при этом $U_{CD \text{ КК}}(T_0 = +30^\circ\text{C}) = 7,2 \text{ В}$;

T_1 – характеристическая температура для ИК LED34 $T_1 = 83 \text{ K}$, а для КК LED38 $T_1 = 95 \text{ K}$;

U_{0CD} – постоянная составляющая выходного напряжения синхронного детектора, которая определена как произведение аппроксимирующего коэффициента k_{0CD} на $U_{CD}(T_0)$, при этом для ИК составляет $k_{0CD \text{ ИК}} = 0,60$, а для КК – $k_{0CD \text{ КК}} = 0,61$.

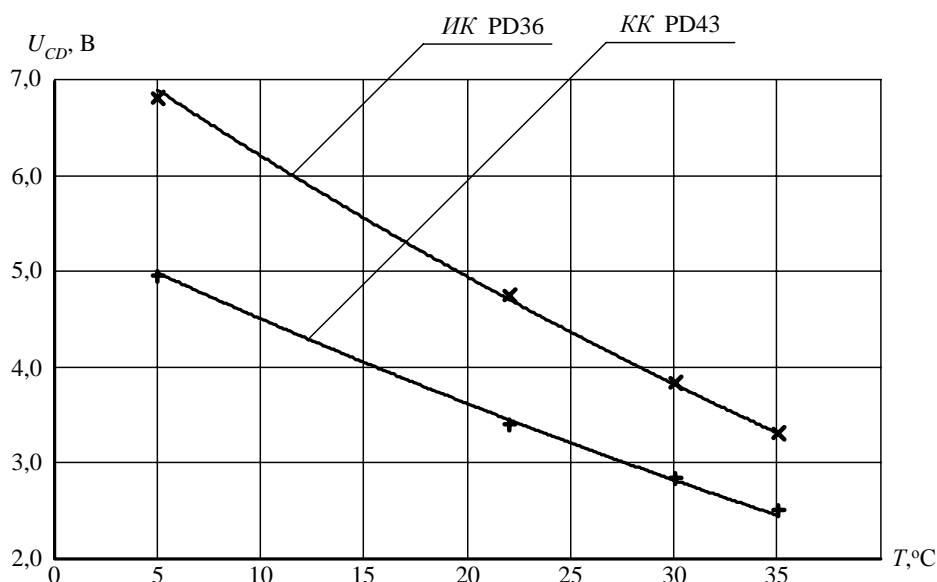


Рисунок 1 – Температурные характеристики выходных напряжений синхронных детекторов ИК и КК измерителя в диапазоне температур от +5 до +35°C

Для аппаратной компенсации температурного дрейфа выходных напряжений синхронных детекторов ИК и КК предложено [1] выполнять измерения падений напряжений на светодиодах, значение которых пропорциональны изменению температуры. Измерение падения напряжения на каждом из светодиодов осуществляется путем подачи импульса тока амплитудой 12 мА. Данное значение обеспечивает минимальный саморазогрев кристалла светодиода. Длительность импульса составляет 20 мкс при частоте импульсной последовательности 500 Гц. Основная и дополнительная импульсные последовательности синхронизированы и разнесены во времени.

Дополнительная импульсная последовательность после прохождения через светодиод детектируется по переднему фронту и поступает на дифференциальный усилитель с интегрирующей цепочкой на входе. Выходное напряжение дифференциального усилителя пропорционально температуре светодиода. При проведении лабораторных испытаний с использованием термостата получены характеристики преобразования напряжения светодиодов измерительного (LED34) и компенсационного (LED38) каналов измерителя от

температуры в диапазоне от +5 до +35°C, графики которых приведены на рисунке 2. На рисунке 2 обозначено: **×** – экспериментальные данные напряжения от температуры для светодиода измерительного канала (ИК) LED34; **+** – для светодиода компенсационного канала (КК) LED38; ——— – результаты аппроксимации температурной характеристики напряжения светодиодов уравнением вида:

$$U_{LED}(T) = U_{0LED} + k_{LED} \cdot T, \quad (3)$$

где $U_{0LED34} = 3,65 \text{ В}$, $k_{LED34} = -0,036 \text{ В/}^\circ\text{С}$ – коэффициенты аппроксимации для ИК LED34;
 $U_{0LED38} = 2,57 \text{ В}$, $k_{LED38} = -0,034 \text{ В/}^\circ\text{С}$ – для КК LED38.

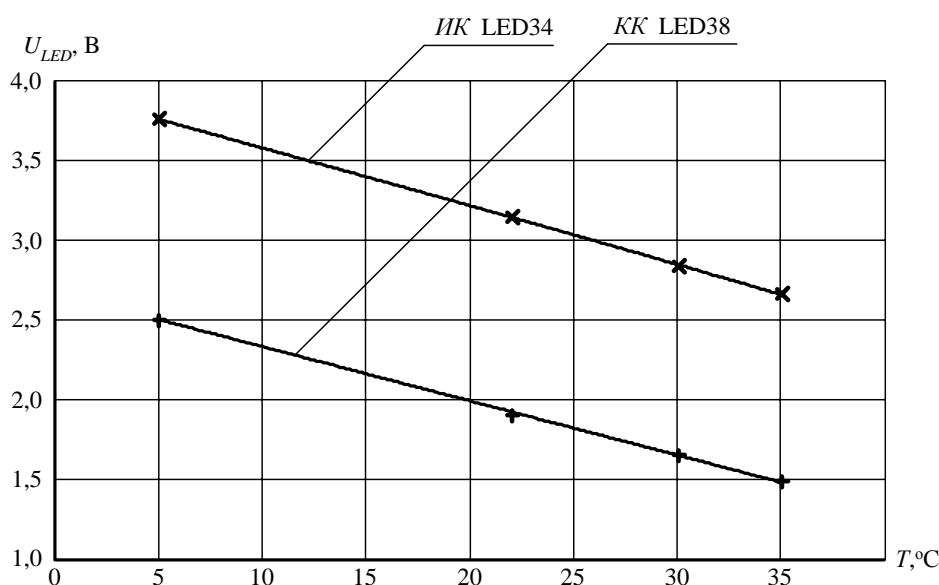


Рисунок 2 – Температурные характеристики напряжения светодиодов в диапазоне температур от +5 до +35°C

Полученные два сигнала напряжения: на выходе синхронного детектора канала и падения напряжения на светодиоде, масштабируют с последующим вычитанием и масштабированием для цифровой обработки результатов измерений по следующему соотношению:

$$U_{ВЫХ}(C_{CH4}, T) = K_C \cdot (K_{LED} \cdot (U_{LED}(T) - U_{CM}) - U_{CD}(C_{CH4}, T)), \quad (4)$$

где C_{CH4} – измеряемая концентрация метана;

$U_{LED}(T)$ – температурная характеристика падения напряжения на светодиоде;

K_C , K_{LED} – масштабирующие коэффициенты, которые исключают мультипликативную составляющую погрешности результатов измерения концентрации метана от температуры; для ИК $K_{C\ ИК} = 2,51$, $K_{LED\ ИК} = 3,2$, а для КК $K_{C\ КК} = 2,2$, $K_{LED\ КК} = 2,4$;

U_{CM} – напряжение смещение, которое исключает аддитивную составляющую погрешности результатов измерения концентрации газа от температуры; для ИК $U_{CM\ ИК} = 1,53 \text{ В}$, а для КК $U_{CM\ КК} = 0,42 \text{ В}$.

При проведении лабораторных испытаний с использованием термостата получены характеристики преобразования выходных напряжений ИК и КК измерителя от температуры

в диапазоне от +5 до +35°C, графики которых приведены на рисунке 3. На рисунке 3 обозначено: **×** – экспериментальные данные выходного напряжения *ИК* от температуры в диапазоне от +15 до +35°C; **+** – выходного напряжения *КК* от температуры LED38; —, - - - - - – результаты аппроксимации характеристик преобразования выходных напряжений по температуре *ИК* и *КК*, соответственно, уравнением вида:

$$U_{ВЫХ}(T) = a_0 + a_1 \cdot T + a_2 \cdot T^2 + a_3 \cdot T^3, \quad (5)$$

где $a_{0\ ИК} = 202,33$ мВ, $a_{1\ ИК} = 89,11$ мВ/°C, $a_{2\ ИК} = -2,047$ мВ/°C², $a_{3\ ИК} = -0,787$ мкВ/°C³ – коэффициенты аппроксимации выходного напряжения *ИК* от изменения температуры в диапазоне от + 5 до +35°C;

$a_{0\ КК} = -168,32$ мВ, $a_{1\ КК} = 48,91$ мВ/°C, $a_{2\ КК} = -1,182$ мВ/°C², $a_{3\ КК} = 3,426$ мкВ/°C³ – выходного напряжения *КК*.

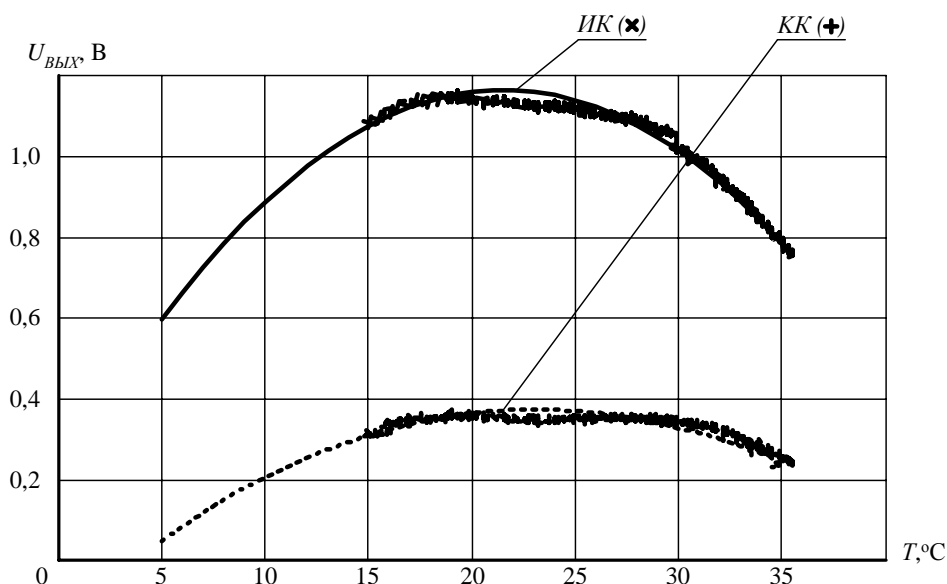


Рисунок 3 – Характеристики преобразования выходных напряжений *ИК* и *КК* измерителя в диапазоне температур от +5 до +35°C (экспериментальные данные в диапазоне температур от +15 до +35°C)

Для уменьшения влияния доминирующего дестабилизирующего фактора – изменение температуры в диапазоне от +5 до +35°C, предложено выполнять цифровую компенсацию температурного дрейфа выходных напряжений *ИК* и *КК*. Для ее реализации использованы характеристики преобразования по температуре выходных напряжений *ИК* и *КК* (см. рис. 3), которые аппроксимированы уравнением (5). Измерение температуры проводилось мультиметром цифровым универсальным UT71С с автоматической записью информации в персональный компьютер через USB-порт. Период опроса датчика температуры составлял 0,5 с.

По результатам измерений температуры T из массива выбираются значения выходных напряжений *ИК* ($U_{кор\ ИК}(T)$) и *КК* ($U_{кор\ КК}(T)$), которые вычитаются из результатов измерений выходных напряжений $U_{ВЫХ\ ИК}$ и $U_{ВЫХ\ КК}$, по следующей формуле:

$$\Delta U_{ВЫХ} = U_{ВЫХ} - U_{кор}(T), \quad (6)$$

где $U_{ВЫХ}$ – выходное напряжение *ИК* и *КК* после аналоговой компенсации температурного дрейфа;

$\Delta U_{ВЫХ}$ – результирующее напряжение *ИК* и *КК*, с учетом цифровой компенсации температурного дрейфа, по значениям данных напряжений определяют измеряемую концентрацию метана;

$U_{кор}(T)$ – напряжение коррекции, величина которого зависит от температуры (см. рис. 3).

Массивы выходных напряжений и температур предварительного занесены в память контроллера.

Характеристики преобразования выходных напряжений *ИК* и *КК* измерителя после цифровой компенсации температурного дрейфа в диапазоне температур от +15 до +35°C приведены на рисунке 4.

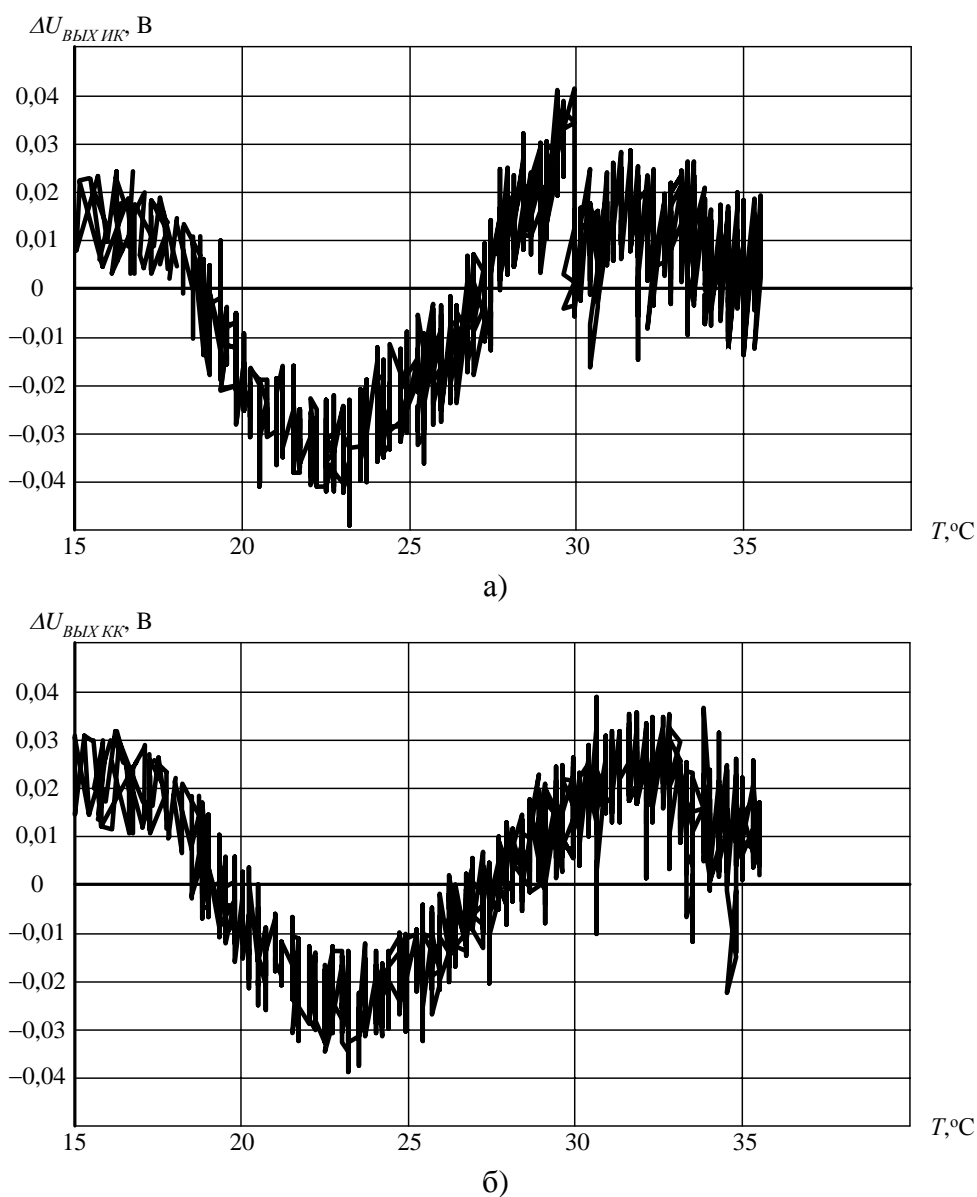


Рисунок 4 – Характеристики преобразования выходных напряжений *ИК* (а) и *КК* (б) измерителя после цифровой компенсации температурного дрейфа в диапазоне температур от +15 до +35°C

Для компенсации запыленности оптических каналов измерителя выполняют вычитание из результатов измерения выходных напряжений $ИК$ и $КК$ в соответствии с формулой [8, 9]:

$$\Delta U_{ВЫХ\ пыль} = \Delta U_{ВЫХ\ ИК} - K \cdot (\Delta U_{ВЫХ\ КК} - U_{СМ}), \quad (7)$$

где K – масштабный коэффициент, величина которого равна 1;

$U_{СМ}$ – напряжение смещения, величина которого в проведенных опытах составляет 0 В.

График изменения результирующего выходного напряжения при компенсации запыленности оптических каналов измерителя концентрации метана приведен на рисунке 5.

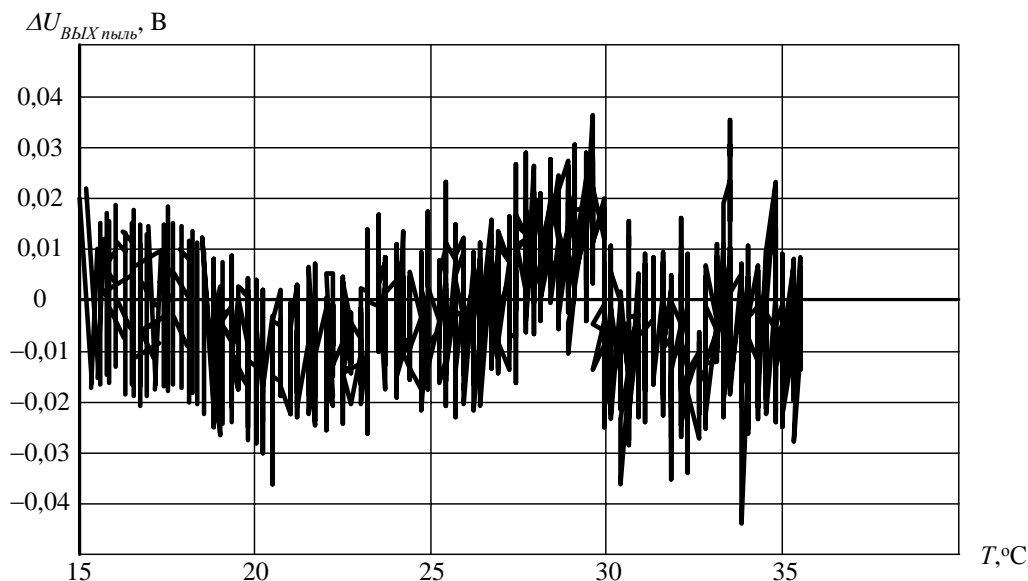


Рисунок 5 – График изменения результирующего выходного напряжения при компенсации запыленности оптических каналов измерителя концентрации метана

Для определения дополнительной погрешности обусловленной влиянием изменения температуры выполнено приведение напряжения $\Delta U_{ВЫХ\ пыль}$, при $C_{CH_4} = const = 0^{об.}\%$, к концентрации метана по следующей формуле:

$$C_{CH_4} = -\frac{1}{k_{ИК}} \cdot \ln \left(1 - \frac{\Delta U_{ВЫХ\ пыль}}{U_{ИК0}} \right), \quad (8)$$

где $k_{ИК} = 0,51 \left(\text{об.}\% \right)^{-1}$; $U_{ИК0} = 0,49$ В – коэффициенты аппроксимации экспериментально определенной характеристики преобразования измерителя по метану.

Значение напряжения $\Delta U_{ВЫХ\ пыль}$, приведенное к концентрации метана C_{CH_4} , соответствует значению дополнительной погрешности измерения концентрации метана ΔC_{CH_4} от изменения температуры. Данные исследования проводились в диапазоне температур от +15 до +35°C. График изменения дополнительной погрешности измерения концентрации метана, обусловленной изменением температуры в диапазоне от +15 до +35°C приведен на рисунке 6.

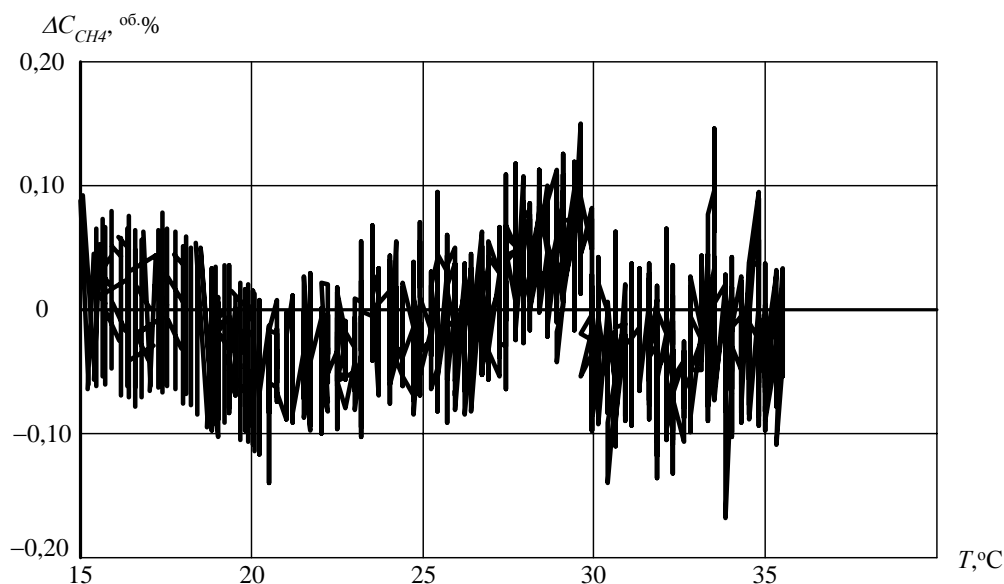


Рисунок 6 – График изменения дополнительной погрешности измерения концентрации метана, обусловленной изменением температуры в диапазоне от +15 до +35°C

Из анализа графика зависимости изменения дополнительной погрешности измерения концентрации метана, обусловленной изменением температуры в диапазоне от +15 до +35°C (см. рис. 6), следует:

– в рабочем диапазоне температур измерителя концентрации метана (25±5)°C амплитудное значение шумовой составляющей выходного сигнала изменения концентрации метана не превышает ±0,08^{об.%}, что с доверительной вероятностью $P = 0,95$ соответствует среднему квадратичному значению $\Delta C_{CH_4 \text{ осн.}} = \pm 0,08 / 2 = \pm 0,04$ ^{об.%}, которое в 5 раз меньше абсолютного значения основной погрешности измерения концентрации метана (не более ±0,2^{об.%}) [10];

– при расширении диапазона температур от +15 до +35°C амплитудное значение шумовой составляющей выходного сигнала измерения концентрации не превышает ±0,17^{об.%}, что с доверительной вероятностью $P = 0,95$ соответствует среднему квадратичному значению $\Delta C_{CH_4 \text{ доп.}} = \pm 0,18 / 2 = \pm 0,09$ ^{об.%}, которое в 4,5 раза меньше указанного значения в техническом задании на разработку измерителя (не более 0,4^{об.%}). Данное значение дополнительной погрешности измерения, обусловленной изменением дестабилизирующих факторов, не превышает удвоенного значения основной погрешности измерения [10].

Выводы

1. Разработан и реализован экспериментальный образец оптического измерителя концентрации метана, который включает в себя:

– измерительный и компенсационный оптические каналы, для реализации алгоритма компенсации запыленности рудничной атмосферы угольных шахт;

– аналоговые измерительные каналы, которые имеет в своем составе: драйвер для светодиода; синхронный детектор; нормирующий усилитель с аналоговой компенсацией температурного дрейфа светодиодов Lms34LED и Lms38LED;

– четырехканальный 12-разрядный аналого-цифровой преобразователь с записью данных в персональный компьютер через USB порт (Arduino DUE).

2. Предложен способ аппаратно-программной компенсации температурного дрейфа

оптического измерителя, в котором использован для аппаратной компенсации в качестве температурно-чувствительного элемента светодиод, падение напряжения на котором пропорционально изменению температуры, а для программной компенсации – датчик температуры. Для реализации программной компенсации использованы характеристики преобразования по температуре выходных напряжений измерительных каналов экспериментального образца.

3. Аппаратно-программная реализация разработанного способа позволила повысить его точность: величина дополнительной погрешности измерения концентрации метана обусловленной изменением температуры составила не более $\pm 0,09$ об.%, что в 4,5 раза меньше требуемого значения по техническому заданию на разработку измерителя (не более $\pm 0,4$ об.%). При этом, в диапазоне измерения концентрации метана от 0 до 4 об.% основная абсолютной погрешностью не должна превышать $\pm 0,2$ об.%, а дополнительная погрешность – удвоенного значения основной погрешности измерения.

Список использованной литературы

1. Вовна, А.В. Разработка и исследование измерителя концентрации метана с аппаратной компенсацией температуры / А.В. Вовна, А.А. Зори, И.Я. Лизан // Наукові праці Донецького національного технічного університету. Серія: «Обчислювальна техніка та автоматизація». – Донецьк, 2013. – Випуск 1(24)'2013. – С. 222 – 229.
2. Вовна, О.В. Розробка методу компенсації вугільного пилу для інфрачервоного вимірювача концентрації метану / О.В. Вовна // Наукові праці Донецького національного технічного університету. Серія: «Обчислювальна техніка та автоматизація». – Донецьк, 2010. – Випуск 19 (171). – С. 41 – 47.
3. Молоковский И.А. Аппаратно-программный комплекс для центра технического обслуживания сети специального назначения / И.А. Молоковский, В.В. Турупалов // Наукові праці Донецького інституту залізничного транспорту Української державної академії залізничного транспорту. – Донецьк, 2013. – Випуск 33. – С. 119 – 125.
4. Пат. 82534 U. Україна, МПК G 01 N 21/35. Спосіб вимірювання концентрації газів / О.В. Вовна, А.А. Зорі, В.Д. Коренев, М.Г. Хламов; Державний вищий навчальний заклад «Донецькій національний технічний університет» (Україна). – № u201304754; заявл. 15.04.2013; опубл. Бюл. № 15 від 12.08.2013.
5. Пат. 84219 U. Україна, МПК G 01 N 21/00. Пристрій для вимірювання концентрації газів / О.В. Вовна, А.А. Зорі, В.Д. Коренев, М.Г. Хламов; Державний вищий навчальний заклад «Донецькій національний технічний університет» (Україна). – № u201305529; заявл. 29.04.2013; опубл. Бюл. № 19 від 10.10.2013.
6. Шуберт, Ф. Светодиоды / Ф. Шуберт; пер. с англ. под ред. А.Э. Юновича. – 2-е изд. М.: ФИЗМАТЛИТ, 2008. – 496 с.
7. LED Microsensor NT [Электронный ресурс] / Mid-infrared LED-PD optopairs. – Электронные данные. – Режим доступа: <http://ru.lmsnt.com>. – Дата доступа: февраль 2014. – Загл. с экрана.
8. Okajima, H. Measurement of methane gas concentration using an infrared LED / H. Okajima, S. Kakuma, K. Uchida, Y. Wakimoto, K. Noda // International Joint Conference Digital Object Identifier: 10.1109/SICE.2006.315585. – 2006. – PP. 1652 – 1655.
9. Пат. 91795 C2. Україна, МПК G 01 N 21/35. Спосіб вимірювання концентрації метану в рудниковій атмосфері / О.В. Вовна, А.А. Зорі, В.Д. Коренев, М.Г. Хламов; Державний вищий навчальний заклад «Донецькій національний технічний університет» (Україна). – № a200906379; заявл. 19.06.2009; опубл. Бюл. № 8 від 25.08.2010.
10. Приборы шахтные газоаналитические. Общие требования, методы испытания: ДСТУ ГОСТ 24032:2009. – [Действующий от 2009-02-01]. – К.: Держспоживстандарт, 2009. – 24 с.

References

1. Vovna, A.V., Zori, A.A. and Lizan, I.Ya. (2013), "Development and research of the methane concentration meter with hardware temperature compensation", *Naukovi praci Donec'kogo nacional'nogo tehničnogo universytetu. Serija: «Obchysljuval'na tehnika ta avtomatyzacija»*, vol. 1, no. 24, pp. 222-229.
2. Vovna, A.V. (2010), "Developing of the method of compensation of coal dust for the infra-red meter of methane concentration", *Naukovi praci Donec'kogo nacional'nogo tehničnogo universytetu. Serija: «Obchysljuval'na tehnika ta avtomatyzacija»*, vol. 19, no. 171, pp. 41-47.
3. Molokovskij, I.A. and Turupalov, V.V. (2013), "Hardware-software system for network maintenance center of special purposes", *Naukovi praci Donec'kogo institutu zalizničnogo transportu Ukraïns'koï derzhavnoï akademii zalizničnogo transportu*, vol. 33, pp. 119-125.
4. Vovna, O.V., Zori, A.A., Korenev, V.D. and Khlamov, M.G. State Institute of Higher Education "Donetsk National Technical University" under Ministry of Education and Science of Ukraine (2013), *Sposib vymirjuvannja koncentracii' gaziv* [Method for measurement of the gases concentration], State Register of Patents of Ukraine, Kiev, UA, Pat. № 82534.
5. Vovna, O.V., Zori, A.A., Korenev, V.D. and Khlamov, M.G. State Institute of Higher Education "Donetsk National Technical University" under Ministry of Education and Science of Ukraine (2013), *Prystrij dlja vymirjuvannja koncentracii' gaziv posib vymirjuvannja koncentracii' gaziv* [Device for measurement of the gases concentration], State Register of Patents of Ukraine, Kiev, UA, Pat. № 84219.
6. Shubert, F. (2008), *Svetodiody* [The LEDs], Translated by Junovich A., FIZMATLIT, Moscow, Russia.
7. LED Microsensor NT (2014) Electronic Resources: finding resources by subject [Online], Retrieved from: <http://ru.lmsnt.com> (Accessed 10 February 2014).
8. Okajima, H., Kakuma, S., Uchida, K., Wakimoto, Y. and Noda, K. (2006) "Measurement of methane gas concentration using an infrared LED", International Joint Conference Digital Object Identifier: 10.1109/SICE.2006.315585. – 2006. – pp. 1652 – 1655.
9. Vovna, O.V., Zori, A.A., Korenev, V.D. and Khlamov, M.G. State Institute of Higher Education "Donetsk National Technical University" under Ministry of Education and Science of Ukraine (2010), *Sposib vymirjuvannja koncentracii' gaziv* [Method for measurement of the gases concentration], State Register of Patents of Ukraine, Kiev, UA, Pat. № 91795.
10. Ukraine Ministry of Coal Industry (2009), 24032:2009. *Pribory shahtnye gazoanaliticheskie. Obshhie trebovaniya, metody ispytaniya* [24032:2009 Mine gas analysis instruments. General requirements, test methods.], Ukraine Ministry of Coal Industry, Kiev, Ukraine.

Надійшла до редакції:
03.03.2014 р.

Рецензент:
докт. техн. наук, проф. Воронцов О.Г.

О.В. Вовна, А.А. Зорі

ДВНЗ «Донецький національний технічний університет»

Оптичний вимірник концентрації метану з апаратно-програмною компенсацією температурного дрейфу. Розроблений та реалізований експериментальний зразок оптичного вимірника концентрації метану. Запропонований спосіб апаратно-програмної компенсації температурного дрейфу оптичного вимірника, в якому використаний для апаратної компенсації в якості температурно-чутливий елементу світлодіод, а для програмної – датчик температури. Апаратно-програмна реалізація розробленого способу дозволила підвищити його точність: величина додаткової похибки вимірювання концентрації метану, яку обумовлено зміною температури складала не більш $\pm 0,09$ об.%, що в 4,5 рази менше необхідного значення за технічним завданням на розробку вимірника (не

більш $\pm 0,4^{\text{об.}\%}$). При цьому, в діапазоні вимірювання концентрації метану від 0 до $4^{\text{об.}\%}$ основна абсолютна похибка не повинна перевищувати $\pm 0,2^{\text{об.}\%}$, а додаткова похибка – подвоєного значення основної похибки вимірювання.

Ключові слова: вимірювач, метан, спосіб, компенсація, температура, похибка.

A.V. Vovna, A.A. Zori

Donetsk National Technical University

Optical measuring methane concentration hardware and software for temperature drift compensation. In conditions of coal mines and the presence of an aggressive environment, a large number of destabilizing factors affecting the result of the measurement (temperature, dust, humidity, etc.) are not allowed to date to create a fast gas analysis meters with the necessary accuracy and performance of metrological reliability. Largely this problem may be solved using the latest optical control systems in methane concentration in the underground workings coal mines, which are based on modern information and measurement technology. Consequently, the development and implementation of optical measuring instruments for monitoring the concentration of gas components of real-time with the metrological characteristics required in an atmosphere of coal is an important issue. Designed and implemented an experimental model of optical methane concentration meter. The sample consists of measuring and compensating optical channels used to implement a compensation algorithm dusty coal mines atmosphere. Also included in the sample composition analog measurement channels, which has in its composition: driver for LEDs; synchronous detector; normalizing amplifier with analog temperature drift compensation LEDs. Measuring the information arrives on four 12 - bit analog - to-digital converter with a record of data to a PC via USB port (Arduino DUE). Provides a method for hardware and software compensate for temperature drift of the optical measuring instrument, which is used for hardware compensation as the temperature-sensitive element LED voltage drop which is proportional to the temperature change, and for the compensation program - temperature sensor. To implement the program of compensation used conversion temperature characteristic of experimental sample output voltage measuring channels. Hardware and software implementation of the developed method has allowed to increase its accuracy : the value of the additional measurement error due to the methane concentration change in temperature was not more than $\pm 0.09^{\text{vol.}\%}$ which is 4.5 times less than the required value for the development of technical specifications for the meter (less than $\pm 0.4^{\text{vol.}\%}$). At the same time, in the range of measurement of methane concentration from 0 to $4^{\text{vol.}\%}$ basic absolute error should not exceed $\pm 0.2^{\text{vol.}\%}$, and an additional error – twice the basic error of measurement.

Keywords: measurer, methane, method, compensation, temperature, accuracy.



Вовна Александр Владимирович, Украина, закончил Донецкий национальный технический университет, канд. техн. наук, доцент, доцент кафедры электронной техники. ГВУЗ «Донецкий национальный технический университет» (ул. Артема, 58, г. Донецк, 83001, Украина). Основное направление научной деятельности – разработка, моделирование и исследование компьютеризированных информационно-измерительных систем аэрогазового контроля.